

УДК 528.4

ТЕОРЕТИЧНІ АСПЕКТИ ОПТИМІЗАЦІЇ БАТИМЕТРИЧНОГО ЗНІМАННЯ У ЗАКРИТИХ ВОДОЙМАХ

К. Третяк, О. Ломпас

Національний університет “Львівська політехніка”

Ключові слова: батиметрія, водосховище, обміри водойм.

Постановка проблеми та її зв'язок з важливими науковими та практичними завданнями

Для розв'язання різних інженерних задач (визначення об'єму водойми, об'єму намулу в ній, проектування трубопроводів по дну водойми, мостів тощо) потрібні батиметричні знімання. Технологія батиметричного знімання полягає у проходженні плавзасобом по вибраних проектних профілях (галсах) з вимірюванням через певні інтервали часу планових координат і глибини. За останні роки, завдяки сучасним технологіям, значно розвинулась технічна база гідрологічних робіт, з'явились нові ехолоти, які синхронізуються з приймачами GPS і можуть виконувати кілька вимірювань за секунду. Але існують види робіт, в яких використання ехолота є недопустимим, а глибини визначають за допомогою рулетки. Планове положення плавзасобу при цьому визначається тахеометром або теодолітом методом засічок. У таких випадках для оптимізації знімального процесу потрібно визначити оптимальну щільність вимірювань, щоб досягти певної точності відображення дна водойми.

Аналіз останніх досліджень та публікацій, які стосуються вирішення цієї проблеми

Тематика дослідження дна акваторій розглянута в роботах [1–3]. Відстані між галсами та промірними точками залежать від рельєфу дна та масштабу гідрографічного знімання і вказані в інструкції [5]. Проте теоретичних роз'яснень щодо розв'язання задачі, яка полягає у знаходженні відстані між точками, що вказана в інструкції [5], в опрацьованій нами літературі немає.

Постановка проблеми

Оскільки більшість батиметричних робіт виконується на водосховищах, у цій роботі досліджено вплив характеру дна на точність визначення площини поперечного перерізу водойми.

Виклад основного матеріалу проблеми

Для математичного моделювання форми перерізу дна введемо деякий коефіцієнт кривини K – відношення довжини кривої L , яка описує дно, до її проекції на поверхню води d (рис. 1).

Коефіцієнт K показує ступінь увігнутості дна і обчислюється за формулою (1)

$$K = \left[\frac{L}{d} - 1 \right] \cdot 1000. \quad (1)$$

Виконано експериментальні розрахунки для водосховищ України і світу для визначення можливих величин коефіцієнта K . За формулою рельєфу дна їх умовно поділено на дві групи: гірські та рівнинні. Їхні параметри (ширина, глибина) взято на різних ділянках, переважно біля греблі та посередині (табл. 1).

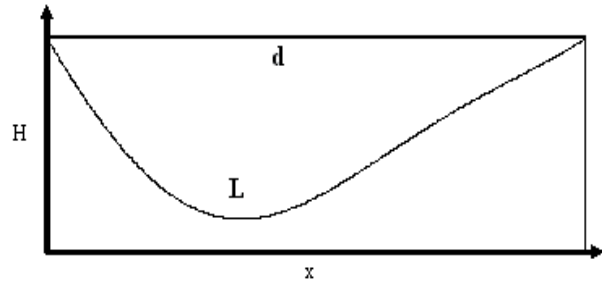


Рис. 1. Складові для обчислення кривини K

Таблиця 1

Морфометричні параметри водосховищ

| Назва водосховища | Ширина, м | Глибина, м | Кривина, К |
|------------------------|-----------|------------|------------|
| Гірські | | | |
| Тереблянське | 600 | 8 | 1,5782 |
| | 300 | 30 | 50,5022 |
| Дністровське | | | |
| 1 000 | 21 | 3,5550 | |
| | 54 | 18,0803 | |
| Саяно-Шушенське | | | |
| 1 000 | 220 | 174,4711 | |
| | 3 000 | 30 | 0,6341 |
| | 3 000 | 10 | 0,0711 |
| Токтогульське | | | |
| 12 000 | 69 | 0,2108 | |
| | 400 | 180 | 493,9786 |
| Бухтармінське | | | |
| 500 | 60 | 67,6536 | |
| | 10 000 | 10 | 0,0064 |
| Рівнинні | | | |
| Київське | | | |
| 10 000 | 4 | 0,00103 | |
| | 20 000 | 2 | 0,00006 |
| | 3 000 | 15 | 0,15973 |
| Дніпровське | | | |
| 3 500 | 8,2 | 0,00033 | |
| Каховське | | | |
| 28 000 | 5 | 0,00020 | |
| | 10 000 | 11 | 0,00773 |
| | 5 000 | 36 | 0,32977 |
| Куйбишівське | | | |
| 35 000 | 8 | 0,00033 | |
| | 1 000 | 54 | 18,0803 |

З табл. 1 вибрано шість значень коефіцієнта кривини K , типових для водосховищ: 10^{-5} , 10^{-3} , 0,1 (рівнинні водосховища), 1, 50, 100 (гірські водосховища). З метою математичного моделювання для кожного з цих шести значень K підібрано по сім кривих різної форми, причому функції побудовано на основі рівняння кола з різними спотвореннями. Для зручності в обчислennях криві моделювались по осі x у межах від $-\pi$ до π , при цьому значення функції $H(x)$ на кінцях проміжку повинні дорівнювати 0. Для прикладу, одну з модельних функцій (2) подано у такому вигляді

$$H(x) = -\sqrt{\frac{\pi^2 - x^2}{16}} + \frac{\sin(2x)}{55.5061} + 3.041834. \quad (2)$$

Для моделювання використано програмний пакет Mathcad 14. На рис. 2 показано результат моделювання кривої (2).

Підбираючи модельні функції під певне значення коефіцієнта K , довжину кривої $f(x)$, що описує дно,

обчислювали за виразом (3), де a і b – межі проміжку інтегрування [6]

$$L = \int_a^b \sqrt{1 + [f'(x)]^2} dx. \quad (3)$$

У теорії числових методів існують формули, використовуючи які, можна передбачити порядок похибки під час обчислення інтеграла від функції $f(x)$ на проміжку від a до b з кроком h . Відповідна формула для методу інтегрування за правилом трапецій має вигляд (4)

$$\Delta = \frac{(b-a) \cdot \left[\frac{d^2}{dx^2} f(x) \right] \cdot h^2}{12}. \quad (4)$$

З формулі зрозуміло, що похибка залежить переважно від величини кроку. Також на неї впливають ширина інтервалу інтегрування (чим більше кроків доведеться зробити алгоритму, тим більше накопичуватиметься похибка) та швидкість зміни функції (чим вона більша, тим більша похибка). Виразивши з формули (4) величину кроку h , отримаємо нерівність (5)

$$h \leq \sqrt{\frac{12 \cdot \Delta}{(b-a) \cdot \frac{d^2}{dx^2} f(x)}}. \quad (5)$$

Кількісно швидкість зміни функції можна знайти, обчисливши похідну. Однак похідна дає миттеву швидкість, а у формулах (4) і (5) фігурує середня швидкість зміни функції на всьому проміжку інтегрування. Її можна знайти за виразом (6)

$$\frac{d^2}{dx^2} f(x) = \frac{1}{b-a} \cdot \int_a^b \frac{d^2}{dx^2} f(x) dx. \quad (6)$$

З урахуванням (6) нерівність (5) для нашого випадку запишеться виразом (7)

$$h \leq \sqrt{\frac{12 \cdot \Delta}{\int_a^b \frac{d^2}{dx^2} f(x) dx}}. \quad (7)$$

За виразом (7) можна обчислити величину кроку h для будь-якої функції на проміжку інтегрування від a до b із заданою точністю Δ [4].

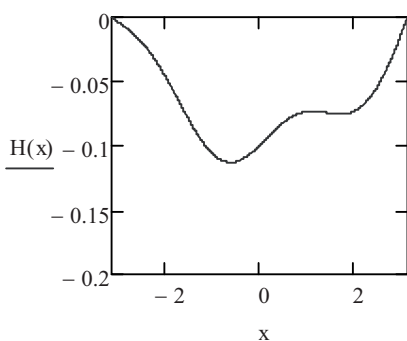


Рис 2. Графічне представлення модельної кривої

Для чисової інтерпретації форми кривої було вирішено ввести коефіцієнт N , який показував би міру спотвореності кривої відносно еталонної кривої. За еталонну криву можна взяти рівняння кола без спотворень (8), де

k_1 та k_2 – коефіцієнти, які підбирають так, щоб на кінцях проміжку значення функції дорівнювали 0

$$g(x) = -\sqrt{\pi^2 - \frac{x^2}{k_1^2}} + k_2. \quad (8)$$

Для будь-якого коефіцієнта кривини K можна знайти едину еталонну криву (8). Коефіцієнт спотвореності N у такому разі матиме вигляд (9), де S – площа, обмежена модельною кривою, S_{em} – площа, обмежена еталонною кривою тієї самої кривини K (рис. 3)

$$N = \frac{S_{em}}{S}. \quad (9)$$

Як видно з формули (9), коефіцієнт N буде тим більшим, чим істотніше спотворена крива, а для еталонних кривих N дорівнює 1.

Щоб встановити зв'язок між коефіцієнтом кривини K та площею, обмеженою еталонною кривою S_{em} , було змодельовано 19 кривих вигляду (8) та обчислено для них площі (табл. 2).

Таблиця 2

Площи еталонних кривих залежно від K

| Кривина K | Площа S_{em} |
|-------------|----------------|
| 0,000010 | 0,001600 |
| 0,000170 | 0,006600 |
| 0,001040 | 0,016500 |
| 0,011630 | 0,054900 |
| 0,026240 | 0,082500 |
| 0,046760 | 0,110200 |
| 0,060010 | 0,124900 |
| 0,076420 | 0,140900 |
| 0,100000 | 0,161200 |
| 1,000000 | 0,509900 |
| 10,167630 | 1,632000 |
| 24,704690 | 2,559900 |
| 38,672520 | 3,222400 |
| 50,000000 | 3,682400 |
| 61,717240 | 4,112400 |
| 70,072120 | 4,729000 |
| 80,281250 | 4,729000 |
| 90,187510 | 5,034300 |
| 100,000000 | 5,324200 |

За даними табл. 2 за допомогою апроксимації встановлена залежність площи S_{em} від коефіцієнта кривини K (10).

$$S_{em} = 0,526 \cdot \sqrt{K}. \quad (10)$$

На рис. 4 графічно зображене цю залежність. Середня відносна похибка апроксимації становить $m_{appr} = 12,5 \%$.

Отже, за формулою (9) розраховано N для кожної модельної кривої, а за (7) обчислено величину відстані між промірними точками h за різної точності визначення площи Δ (табл. 3). Величина кроку подається як частина від 2π . Точність Δ визначалась як певний відсоток T (0,1 %, 0,5 %, ..., 15 %) від площи, обмеженої модельною кривою S (11).

$$TOL = S * T\%. \quad (11)$$

Як видно з табл. 3, у разі збільшення коефіцієнта N величина відстані між промірними точками зменшується, тобто чим більше спотворена крива, тим вища щільність зірочок. На рис. 5 зірочками показано значення h за різної точності T для коефіцієнта кривини $K = 1$.

Таблиця 3

Величина кроку h за різних $T \in N$

| N \ T % | 0,1 | 0,5 | 1 | 2 | 3,5 | 5 | 7,5 | 10 | 12 | 15 |
|-----------------------|-------|-------|-------|-------|-------|-------|-------|-------|-------|-------|
| Кривина $K = 10^{-5}$ | | | | | | | | | | |
| 1.025 | 0.208 | 0.465 | 0.658 | 0.931 | 1.231 | 1.471 | 1.802 | 2.081 | 2.280 | 2.549 |
| 1.081 | 0.206 | 0.461 | 0.651 | 0.921 | 1.219 | 1.456 | 1.784 | 2.060 | 2.256 | 2.523 |
| 1.127 | 0.199 | 0.444 | 0.628 | 0.888 | 1.174 | 1.404 | 1.719 | 1.985 | 2.174 | 2.431 |
| 1.320 | 0.187 | 0.419 | 0.593 | 0.838 | 1.109 | 1.325 | 1.623 | 1.874 | 2.053 | 2.295 |
| 1.472 | 0.176 | 0.393 | 0.555 | 0.785 | 1.039 | 1.242 | 1.521 | 1.756 | 1.924 | 2.151 |
| 1.517 | 0.177 | 0.395 | 0.559 | 0.79 | 1.045 | 1.249 | 1.530 | 1.767 | 1.936 | 2.164 |
| 1.789 | 0.158 | 0.352 | 0.498 | 0.704 | 0.932 | 1.114 | 1.364 | 1.575 | 1.726 | 1.929 |
| Кривина $K = 10^{-3}$ | | | | | | | | | | |
| 1.021 | 0.206 | 0.462 | 0.653 | 0.923 | 1.221 | 1.459 | 1.787 | 2.064 | 2.261 | 2.528 |
| 1.071 | 0.205 | 0.458 | 0.648 | 0.916 | 1.212 | 1.448 | 1.774 | 2.048 | 2.244 | 2.509 |
| 1.139 | 0.193 | 0.432 | 0.611 | 0.864 | 1.143 | 1.366 | 1.673 | 1.932 | 2.116 | 2.366 |
| 1.175 | 0.199 | 0.444 | 0.628 | 0.888 | 1.175 | 1.405 | 1.721 | 1.987 | 2.176 | 2.433 |
| 1.205 | 0.19 | 0.425 | 0.601 | 0.849 | 1.124 | 1.343 | 1.645 | 1.899 | 2.081 | 2.326 |
| 1.369 | 0.178 | 0.398 | 0.563 | 0.797 | 1.054 | 1.260 | 1.543 | 1.782 | 1.952 | 2.182 |
| 1.495 | 0.174 | 0.39 | 0.551 | 0.779 | 1.031 | 1.232 | 1.509 | 1.743 | 1.909 | 2.135 |
| Кривина $K = 0.1$ | | | | | | | | | | |
| 1,1 | 0.198 | 0.443 | 0.627 | 0.887 | 1.173 | 1.402 | 1.717 | 1.982 | 2.172 | 2.428 |
| 1.012 | 0.205 | 0.458 | 0.648 | 0.917 | 1.213 | 1.45 | 1.775 | 2.050 | 2.246 | 2.511 |
| 1.039 | 0.203 | 0.455 | 0.643 | 0.91 | 1.204 | 1.439 | 1.762 | 2.035 | 2.229 | 2.492 |
| 1.157 | 0.193 | 0.431 | 0.61 | 0.863 | 1.141 | 1.364 | 1,67 | 1.929 | 2.113 | 2.362 |
| 1.197 | 0.19 | 0.424 | 0.6 | 0.848 | 1.122 | 1.341 | 1.642 | 1.896 | 2.077 | 2.322 |
| 1.264 | 0.18 | 0.403 | 0.57 | 0.806 | 1.067 | 1.275 | 1.562 | 1.803 | 1.975 | 2.208 |
| 1.321 | 0.178 | 0.399 | 0.564 | 0.798 | 1.056 | 1.262 | 1.545 | 1.784 | 1.955 | 2.186 |
| Кривина $K = 1$ | | | | | | | | | | |
| 1,051 | 0,204 | 0,456 | 0,645 | 0,912 | 1,207 | 1,443 | 1,767 | 2,04 | 2,235 | 2,499 |
| 1,064 | 0,204 | 0,456 | 0,645 | 0,913 | 1,208 | 1,443 | 1,768 | 2,041 | 2,236 | 2,5 |
| 1,11 | 0,193 | 0,431 | 0,61 | 0,862 | 1,141 | 1,364 | 1,67 | 1,929 | 2,113 | 2,362 |
| 1,216 | 0,197 | 0,441 | 0,624 | 0,883 | 1,168 | 1,396 | 1,71 | 1,974 | 2,162 | 2,418 |
| 1,29 | 0,185 | 0,415 | 0,586 | 0,829 | 1,097 | 1,311 | 1,606 | 1,854 | 2,031 | 2,271 |
| 1,438 | 0,179 | 0,399 | 0,565 | 0,799 | 1,056 | 1,263 | 1,546 | 1,786 | 1,956 | 2,187 |
| 1,754 | 0,159 | 0,355 | 0,503 | 0,711 | 0,941 | 1,124 | 1,377 | 1,59 | 1,741 | 1,947 |
| Кривина $K = 50$ | | | | | | | | | | |
| 1.031 | 0.19 | 0.424 | 0.6 | 0.848 | 1.122 | 1.341 | 1.642 | 1.896 | 2.077 | 2.322 |
| 1.033 | 0.192 | 0.43 | 0.608 | 0.86 | 1.138 | 1.360 | 1.666 | 1.924 | 2.107 | 2.356 |
| 1.108 | 0.187 | 0.418 | 0.591 | 0.835 | 1.105 | 1.321 | 1.617 | 1.868 | 2.046 | 2.287 |
| 1.264 | 0.169 | 0.377 | 0.533 | 0.754 | 0.997 | 1.192 | 1.460 | 1.685 | 1.846 | 2.064 |
| 1.322 | 0.17 | 0.38 | 0.538 | 0.76 | 1.006 | 1.202 | 1.472 | 1.700 | 1.862 | 2.082 |
| 1.521 | 0.163 | 0.365 | 0.516 | 0.73 | 0.965 | 1.154 | 1.413 | 1.632 | 1.788 | 1.999 |
| 1.535 | 0.155 | 0.347 | 0.491 | 0.695 | 0.919 | 1.099 | 1.346 | 1.554 | 1.702 | 1.903 |
| Кривина $K = 100$ | | | | | | | | | | |
| 1.010 | 0.181 | 0.405 | 0.572 | 0.809 | 1.071 | 1.280 | 1.567 | 1.810 | 1.983 | 2.217 |
| 1.083 | 0.179 | 0.401 | 0.567 | 0.802 | 1.061 | 1.268 | 1.553 | 1.794 | 1.965 | 2.197 |
| 1.094 | 0.177 | 0.395 | 0.559 | 0.790 | 1.045 | 1.249 | 1.530 | 1.767 | 1.936 | 2.164 |
| 1.107 | 0.186 | 0.416 | 0.588 | 0.832 | 1.101 | 1.316 | 1.611 | 1.861 | 2.038 | 2.279 |
| 1.112 | 0.177 | 0.396 | 0.560 | 0.792 | 1.047 | 1.252 | 1.533 | 1.771 | 1.940 | 2.168 |
| 1.143 | 0.176 | 0.394 | 0.558 | 0.789 | 1.043 | 1.247 | 1.527 | 1.764 | 1.932 | 2.160 |
| 1.468 | 0.158 | 0.354 | 0.500 | 0.707 | 0.935 | 1.118 | 1.369 | 1.581 | 1.732 | 1.936 |

З рис. 5 бачимо, що h залежно від коефіцієнта спотвореності N змінюється лінійно, тому апроксимація виконувалась прямими при різній точності T для кожного з 6 коефіцієнтів кривини K . Точність апроксимації оцінювали за формулою (12), де n – кількість модельних функцій у межах одного значення коефіцієнта кривини K .

$$m = \sqrt{\frac{\sum_{i=1}^n (h(N_i) - h_i)^2}{n-1}}. \quad (12)$$

Коефіцієнти a та b , а також оцінка точності апроксимації наведені у табл. 4.

Таблиця 4

Коефіцієнти a та b та оцінка точності апроксимації

| Точність $T \%$ | a | b | skp |
|-----------------------|--------|-------|--------|
| Кривина $K = 10^{-5}$ | | | |
| 0,1 | -0.06 | 0.267 | 0.0036 |
| 0,5 | -0.136 | 0.597 | 0.0085 |
| 1 | -0.192 | 0.844 | 0.0119 |
| 2 | -0.272 | 1.194 | 0.017 |
| 3,5 | -0.359 | 1.579 | 0.0224 |
| 5 | -0.429 | 1.887 | 0.0263 |
| 7,5 | -0.526 | 2.312 | 0.0327 |
| 10 | -0.608 | 2.670 | 0.0376 |
| 12 | -0.664 | 2.923 | 0.0413 |
| 15 | -0.744 | 3.270 | 0.0462 |
| Кривина $K = 10^{-3}$ | | | |
| 0,1 | -0.065 | 0.27 | 0.004 |
| 0,5 | -0.143 | 0.601 | 0.0091 |
| 1 | -0.203 | 0.851 | 0.0128 |
| 2 | -0.287 | 1.203 | 0.018 |
| 3,5 | -0.379 | 1.591 | 0.0238 |
| 5 | -0.453 | 1.902 | 0.0283 |
| 7,5 | -0.555 | 2.329 | 0.035 |
| 10 | -0.64 | 2.688 | 0.0403 |
| 12 | -0.702 | 2.946 | 0.0441 |
| 15 | -0.785 | 3.293 | 0.0494 |
| Кривина $K = 0.1$ | | | |
| 0,1 | -0.08 | 0.284 | 0.003 |
| 0,5 | -0.178 | 0.634 | 0.0065 |
| 1 | -0.253 | 0.898 | 0.0092 |
| 2 | -0.358 | 1.271 | 0.0133 |
| 3,5 | -0.473 | 1.681 | 0.0172 |
| 5 | -0.564 | 2.008 | 0.0209 |
| 7,5 | -0.691 | 2.459 | 0.0253 |
| 10 | -0.8 | 2.841 | 0.0292 |
| 12 | -0.875 | 3.112 | 0.0322 |
| 15 | -0.978 | 3.478 | 0.036 |
| Кривина $K = 1$ | | | |
| 0,1 | -0.057 | 0.261 | 0.0043 |
| 0,5 | -0.129 | 0.585 | 0.0096 |
| 1 | -0.182 | 0.825 | 0.0137 |
| 2 | -0.258 | 1.168 | 0.0195 |
| 3,5 | -0.341 | 1.546 | 0.0259 |
| 5 | -0.408 | 1.848 | 0.0308 |
| 7,5 | -0.499 | 2.263 | 0.038 |
| 10 | -0.576 | 2.613 | 0.0436 |
| 12 | -0.632 | 2.863 | 0.0478 |
| 15 | -0.706 | 3.201 | 0.0536 |
| Кривина $K = 50$ | | | |
| 0,1 | -0.061 | 0.251 | 0.004 |
| 0,5 | -0.136 | 0.561 | 0.009 |
| 1 | -0.192 | 0.793 | 0.0126 |
| 2 | -0.27 | 1.120 | 0.0179 |
| 3,5 | -0.359 | 1.484 | 0.0236 |
| 5 | -0.428 | 1.772 | 0.0282 |
| 7,5 | -0.524 | 2.170 | 0.0345 |
| 10 | -0.605 | 2.506 | 0.0403 |
| 12 | -0.663 | 2.745 | 0.044 |
| 15 | -0.74 | 3.068 | 0.0492 |
| Кривина $K = 100$ | | | |
| 0,1 | -0.048 | 0.231 | 0.004 |
| 0,5 | -0.107 | 0.515 | 0.0089 |
| 1 | -0.151 | 0.729 | 0.0126 |
| 2 | -0.215 | 1.032 | 0.0178 |
| 3,5 | -0.286 | 1.366 | 0.0236 |
| 5 | -0.34 | 1.631 | 0.0283 |
| 7,5 | -0.417 | 1.998 | 0.0344 |
| 10 | -0.481 | 2.308 | 0.0401 |
| 12 | -0.527 | 2.528 | 0.0437 |
| 15 | -0.591 | 2.828 | 0.0489 |

На рис. 6 показано, як змінюються коефіцієнти a та b залежно від точності визначення площини T .

Для кожного коефіцієнта кривини K було апроксимовано коефіцієнти a та b функціями (13).

$$\begin{aligned} a(T) &= a_1 \cdot T + a_2 \\ b(T) &= b_1 \cdot \sqrt{T}. \end{aligned} \quad (13)$$

Коефіцієнти a_1 , a_2 та b_1 наведено у табл. 5.

Таблиця 5

Значення коефіцієнтів a_1 , a_2 та b_1

| K | a_1 | a_2 | b_1 |
|------------|--------|--------|-------|
| 0.000010 | -0.044 | -0.152 | 0.844 |
| 0.001000 | -0.046 | -0.161 | 0.850 |
| 0.100000 | -0.057 | -0.200 | 0.899 |
| 1.000000 | -0.041 | -0.145 | 0.826 |
| 25.000000 | -0.035 | -0.123 | 0.785 |
| 50.000000 | -0.043 | -0.152 | 0.793 |
| 100.000000 | -0.035 | -0.120 | 0.730 |

Після цього формула залежності кроку h від точності T і коефіцієнта спотвореності N набула вигляду (14)

$$h(N, T) = (a_1 \cdot T + a_2) \cdot N + b_1 \cdot \sqrt{T}. \quad (14)$$

За даними табл. 5 побудовано рис. 6–8, де простежується лінійна залежність коефіцієнтів a_1 , a_2 та b_1 від коефіцієнта кривини K .

Виконавши апроксимацію функціями (15), ми отримали значення коефіцієнтів a_{11} , a_{12} , a_{21} , a_{22} , b_{11} , b_{12} (табл. 6).

$$a_1(K) = a_{11} \cdot K + a_{12};$$

$$a_2(K) = a_{21} \cdot K + a_{22}; \quad (15)$$

$$b_1(K) = b_{11} \cdot K + b_{12}.$$

Таблиця 6

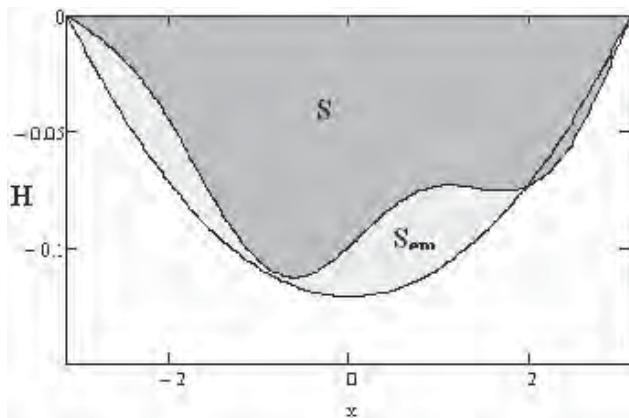
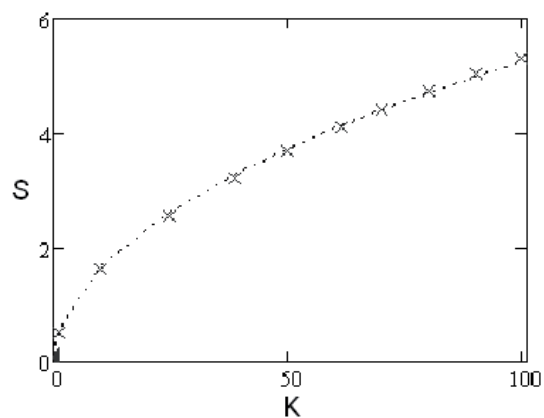
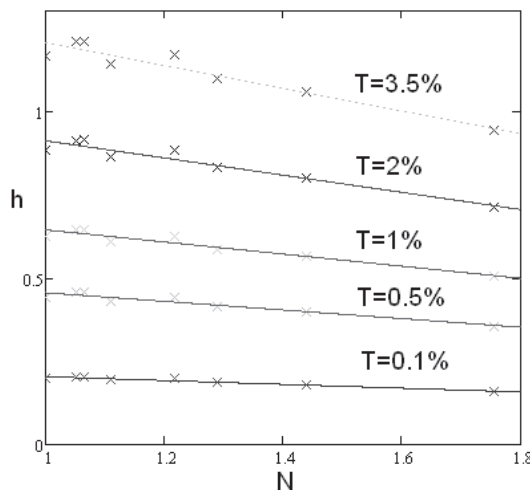
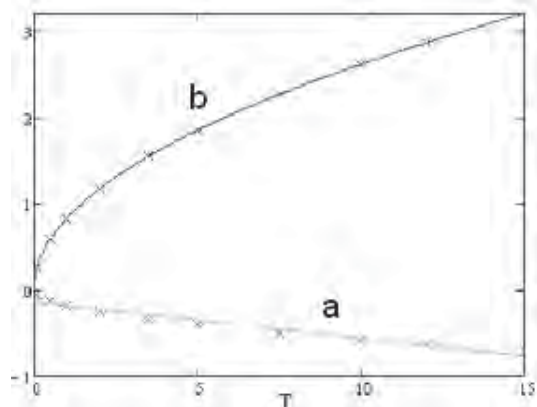
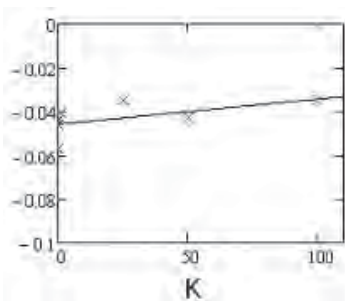
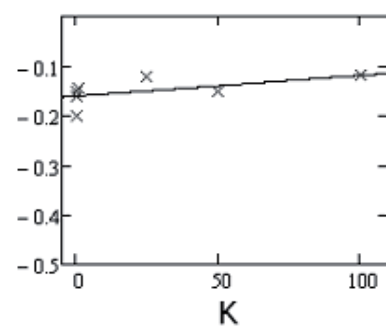
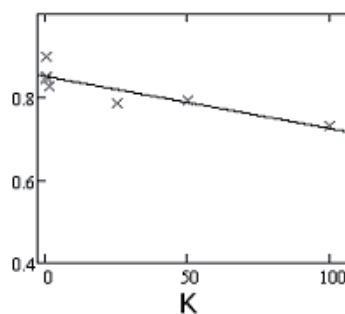
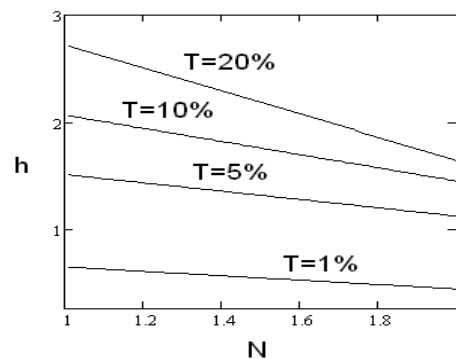
Значення коефіцієнтів апроксимації

| Коефіцієнт | Значення |
|------------|----------|
| a_{11} | 0.0001 |
| a_{12} | -0.0459 |
| a_{21} | 0.0004 |
| a_{22} | -0.1610 |
| b_{11} | -0.0013 |
| b_{12} | 0.8496 |

У підсумку одержано загальну формулу залежності кроку інтегрування h від коефіцієнта кривини рельєфу K , спотвореності N і точності T (16)

$$\begin{aligned} h(N, T, K) &= ((a_{11} \cdot K + a_{12}) \cdot T + \\ &+ (a_{21} \cdot K + a_{22})) \cdot N + (b_{11} \cdot K + b_{12}) \cdot \sqrt{T}. \end{aligned} \quad (16)$$

У табл. 7 подано оцінку точності визначення відстані між промірними точками, де h_1 – відстань, визначена для модельних функцій за виразом (7), h_2 – за виразом (16).

Рис. 3. Графічне представлення коефіцієнта N Рис. 4. Залежність площи S_{em} від кривини K Рис. 5. Значення кроку h , якщо $K = 1$ Рис. 6. Зміна коефіцієнтів a та b від точності T ($K=1$)Рис. 7. Залежність коефіцієнта a_1 від K Рис. 8. Залежність коефіцієнта a_2 від K Рис. 9. Залежність коефіцієнта b_1 від K Рис. 10. Відстань між промірними точками при різних T

Середню квадратичну помилку обчислено за формуллою (17)

$$m = \sqrt{\frac{\sum_{i=1}^n (h_i - h_2)^2}{n-1}} = 0.016 \approx 3.2\%. \quad (17)$$

Графічне відображення формули (17) за фіксованого K подано на рис. 10.

Таблиця 7

Оцінка точності визначення відстані між промірними точками

| Коефіцієнт N | h_1 | h_2 | Різниця | Різниця % |
|-----------------------|-------|-------|---------|-----------|
| Кривина $K = 10^{-5}$ | | | | |
| 1,025 | 0,658 | 0,638 | 0,02 | 3,04 |
| 1,081 | 0,651 | 0,626 | 0,025 | 3,84 |
| 1,127 | 0,628 | 0,616 | 0,012 | 1,91 |
| 1,32 | 0,593 | 0,576 | 0,017 | 2,87 |
| 1,472 | 0,555 | 0,545 | 0,01 | 1,80 |
| 1,517 | 0,559 | 0,536 | 0,023 | 4,11 |
| 1,789 | 0,498 | 0,479 | 0,019 | 3,82 |
| Кривина $K = 10^{-3}$ | | | | |
| 1,021 | 0,653 | 0,638 | 0,015 | 2,30 |
| 1,071 | 0,648 | 0,628 | 0,02 | 3,09 |
| 1,139 | 0,611 | 0,614 | -0,003 | -0,49 |
| 1,175 | 0,628 | 0,606 | 0,022 | 3,50 |
| 1,205 | 0,601 | 0,6 | 0,001 | 0,17 |
| 1,369 | 0,563 | 0,566 | -0,003 | -0,53 |
| 1,495 | 0,551 | 0,54 | 0,011 | 2,00 |
| Кривина $K = 0,1$ | | | | |
| 1,1 | 0,627 | 0,622 | 0,005 | 0,80 |
| 1,012 | 0,648 | 0,64 | 0,008 | 1,23 |
| 1,039 | 0,643 | 0,635 | 0,008 | 1,24 |
| 1,157 | 0,61 | 0,61 | 0 | 0,00 |
| 1,197 | 0,6 | 0,602 | -0,002 | -0,33 |
| 1,264 | 0,57 | 0,588 | -0,018 | -3,16 |
| 1,321 | 0,564 | 0,576 | -0,012 | -2,13 |
| Кривина $K = 1$ | | | | |
| 1,051 | 0,645 | 0,631 | 0,014 | 2,17 |
| 1,064 | 0,645 | 0,629 | 0,016 | 2,48 |
| 1,11 | 0,61 | 0,619 | -0,009 | -1,48 |
| 1,216 | 0,624 | 0,597 | 0,027 | 4,33 |
| 1,29 | 0,586 | 0,582 | 0,004 | 0,68 |
| 1,438 | 0,565 | 0,551 | 0,014 | 2,48 |
| 1,754 | 0,503 | 0,486 | 0,017 | 3,38 |
| Кривина $K = 50$ | | | | |
| 1,031 | 0,6 | 0,597 | 0,003 | 0,50 |
| 1,033 | 0,608 | 0,597 | 0,011 | 1,81 |
| 1,108 | 0,591 | 0,583 | 0,008 | 1,35 |
| 1,264 | 0,533 | 0,555 | -0,022 | -4,13 |
| 1,322 | 0,538 | 0,544 | -0,006 | -1,12 |
| 1,521 | 0,516 | 0,508 | 0,008 | 1,55 |
| 1,535 | 0,491 | 0,505 | -0,014 | -2,85 |
| Кривина $K = 100$ | | | | |
| 1,01 | 0,572 | 0,561 | 0,011 | 1,92 |
| 1,083 | 0,567 | 0,55 | 0,017 | 3,00 |
| 1,094 | 0,559 | 0,548 | 0,011 | 1,97 |
| 1,107 | 0,588 | 0,546 | 0,042 | 7,14 |
| 1,112 | 0,56 | 0,545 | 0,015 | 2,68 |
| 1,143 | 0,558 | 0,54 | 0,018 | 3,23 |
| 1,468 | 0,5 | 0,489 | 0,011 | 2,20 |

Згідно із (17), маючи попередню інформацію про рельєф дна (K, N), можна обчислити величину відстані

між промірними точками для досягнення певної точності (T).

Висновки

На основі виконаної роботи можна оптимізувати процес батиметричного знімання за профілями. В результаті досліджень отримано формулу, за якою можна визначити щільність вимірювальних залежно від форми рельєфу дна та точності обчислення площини профілю. Визначення оптимальної відстані між промірними точками прискорює опрацювання та мінімізує витрати на виконання батиметричних робіт.

Література

- Баран П.І. Технологічні та геоінформаційні аспекти інженерно-геодезичних промірних робіт в акваторіях / П.І. Баран, М.П. Михальчук, Л.В. Примак, О.В // Ученые записки ТНУ. – 2007. – Вип. 20 (59). – С. 13–21.
- Бурштинська Х. Технологія побудови цифрової моделі рельєфу для створення плану дна ріки / Х. Бурштинська, І. Василиха, П. Коваль // Геодезія, картографія і аерофотознімання. – 2007. – Вип. 69. – С. 135–144.
- Создание автоматизированного планшета panoramicой съемки акваторий / А. Гончар, С. Донченко, В. Худоконь, А. Шундель // Проблемы, методы и засобри досліджень Світового океану. – 2007. – № 4. – С. 49–53.
- Гурский Д.А. Вычисления в Mathcad 12 / Д.А. Гурский, Е.С. Турбина. – СПб.: Питер, 2006. – 544 с.
- Инструкция по созданию топографических карт шельфа и внутренних водоемов. ГКИНП-11-152-85. – М.: ЦНИИГАиК, 1985. – 158 с.
- Фихтенгольц Г.М. Курс дифференциального и интегрального исчисления / Г.М. Фихтенгольц. Том II. – М.: ФИЗМАТЛИТ, 2001. – 810 с.

Теоретичні аспекти оптимізації батиметричного знімання у закритих водоймах
К. Третяк, О. Ломпас

Виведено формулу визначення відстані між промірними точками залежно від характеру дна під час гідрологічних робіт.

Теоретические аспекты оптимизации батиметрической съемки в закрытых водоемах
К. Третяк, О. Ломпас

Выведена формула определения расстояния между точками измерения глубин в зависимости от характера дна при гидрологических работах.

**Theoretical aspects of optimization
batymetricchno removal in closed basins**
K. Tretjak, O. Lompas

In this paper, a formula determining the distance between points depending on the nature of the bottom of hydrological works.